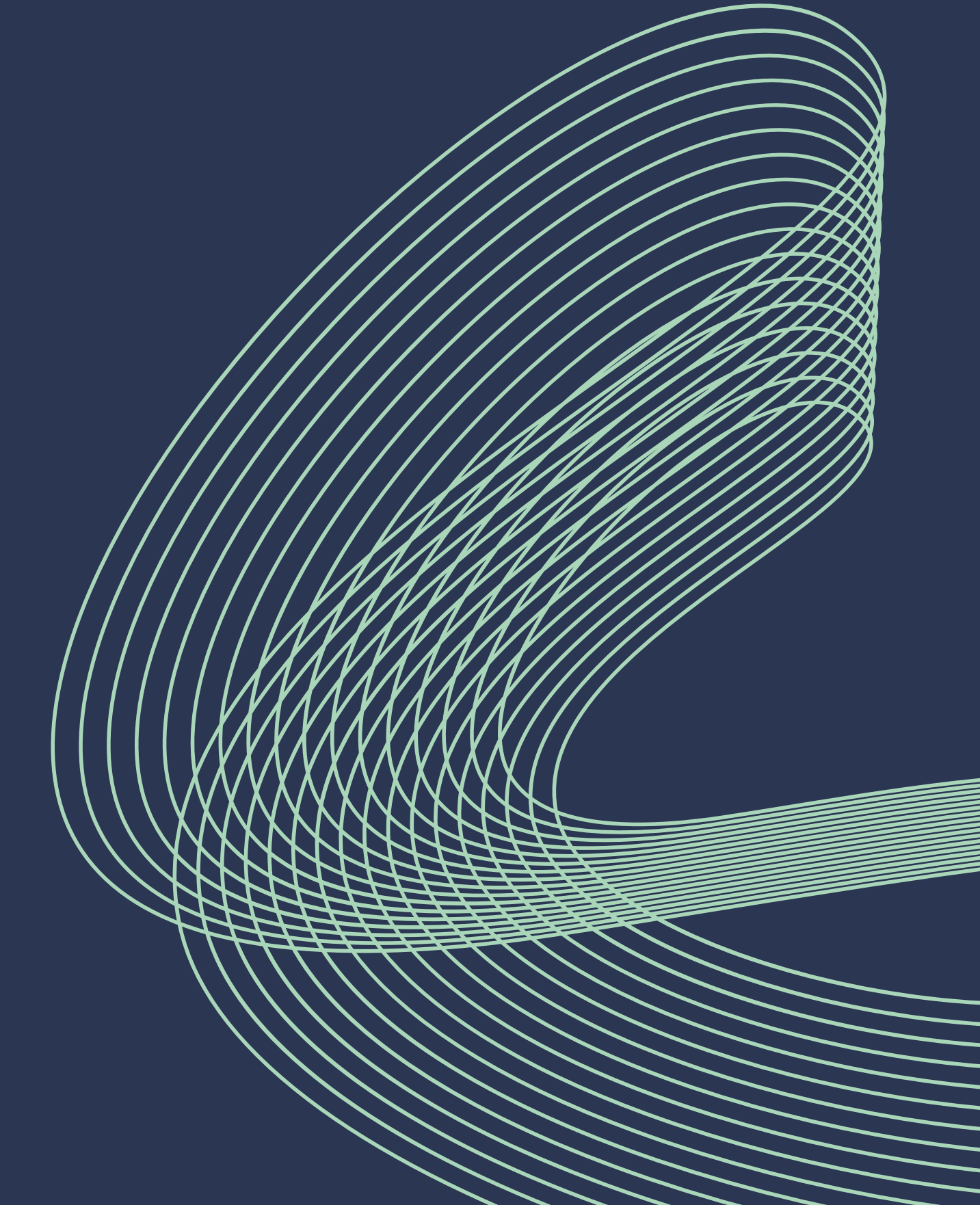
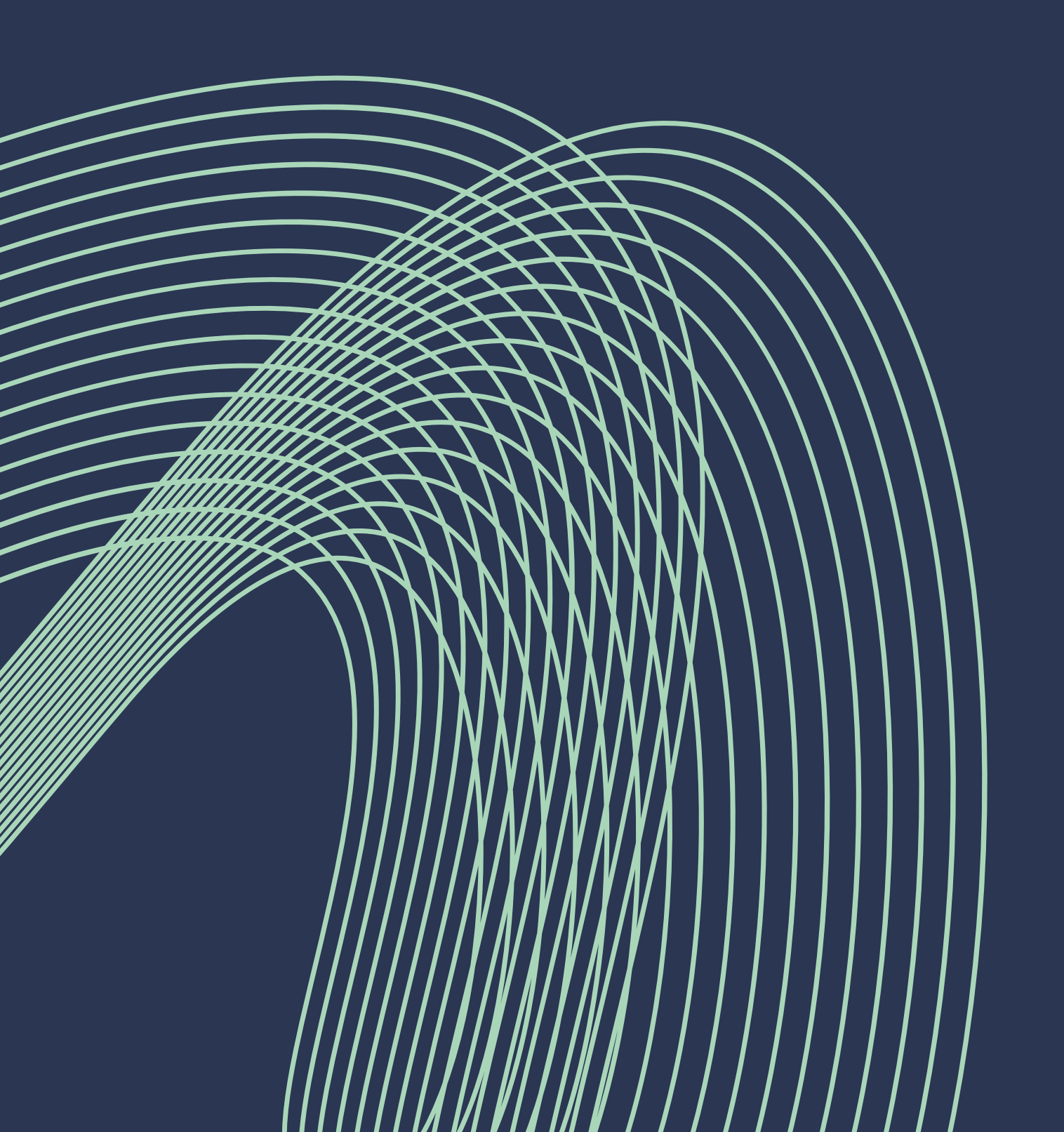
CAPTEUR À ONDE ACOUSTIQUE DE SURFACE

Pour la détection précoce de formation de dépôts microorganiques

PRÉSENTÉ PAR: LEYLA H.-DUFOUR



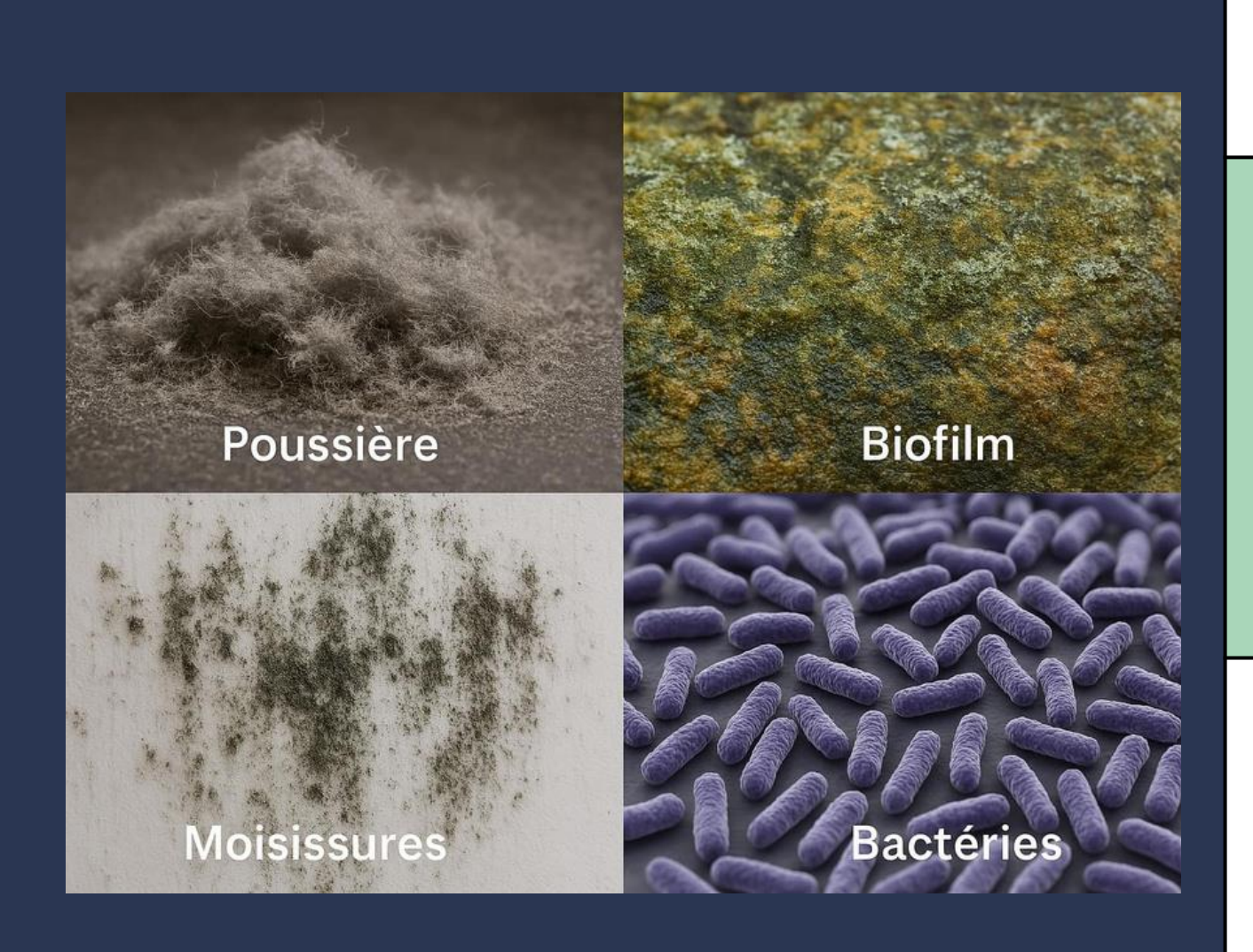
QUI SUIS-JE?







LES DÉPOTS MICRO-ORGANIQUES



Biofilm

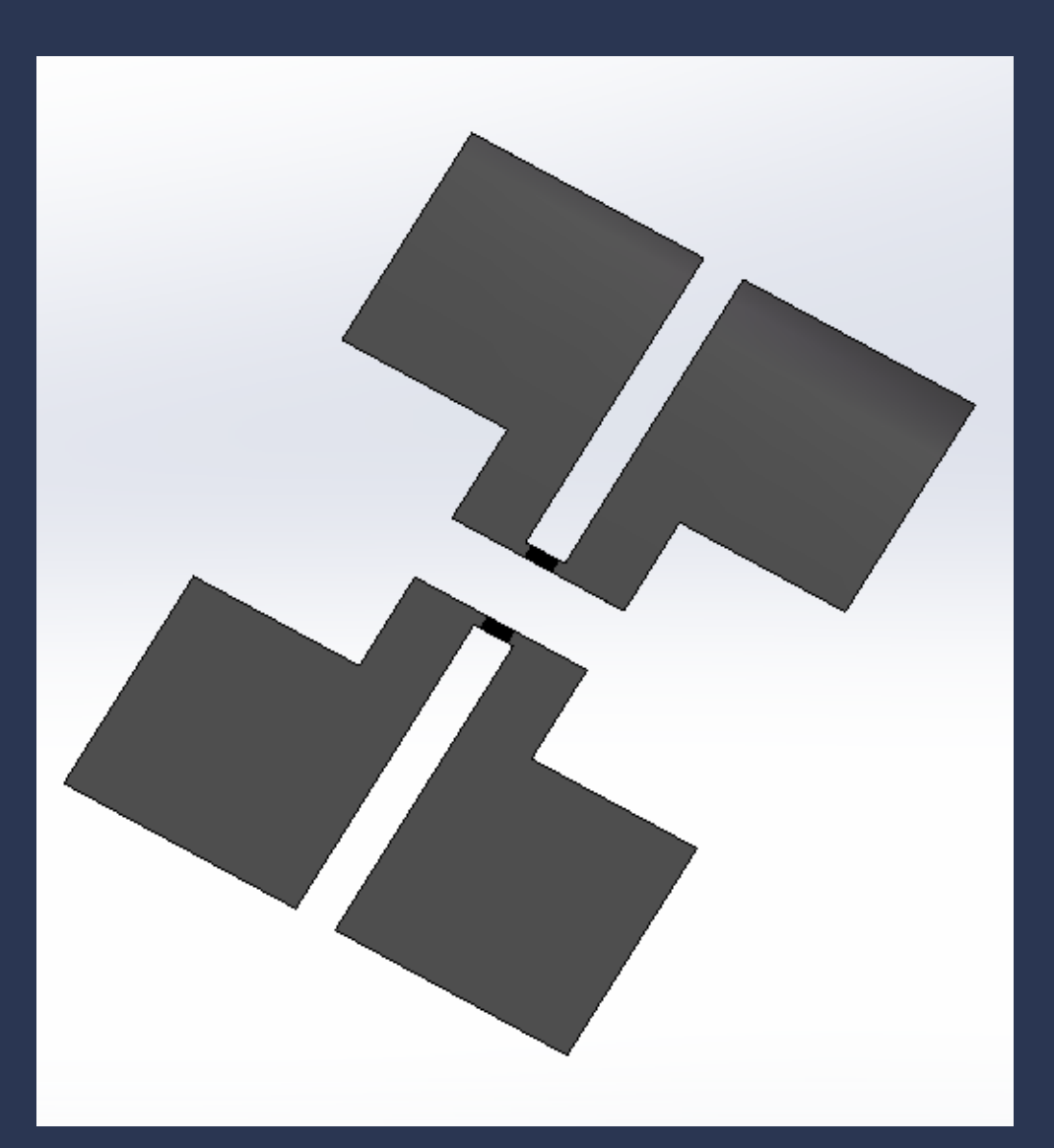
Moisissures

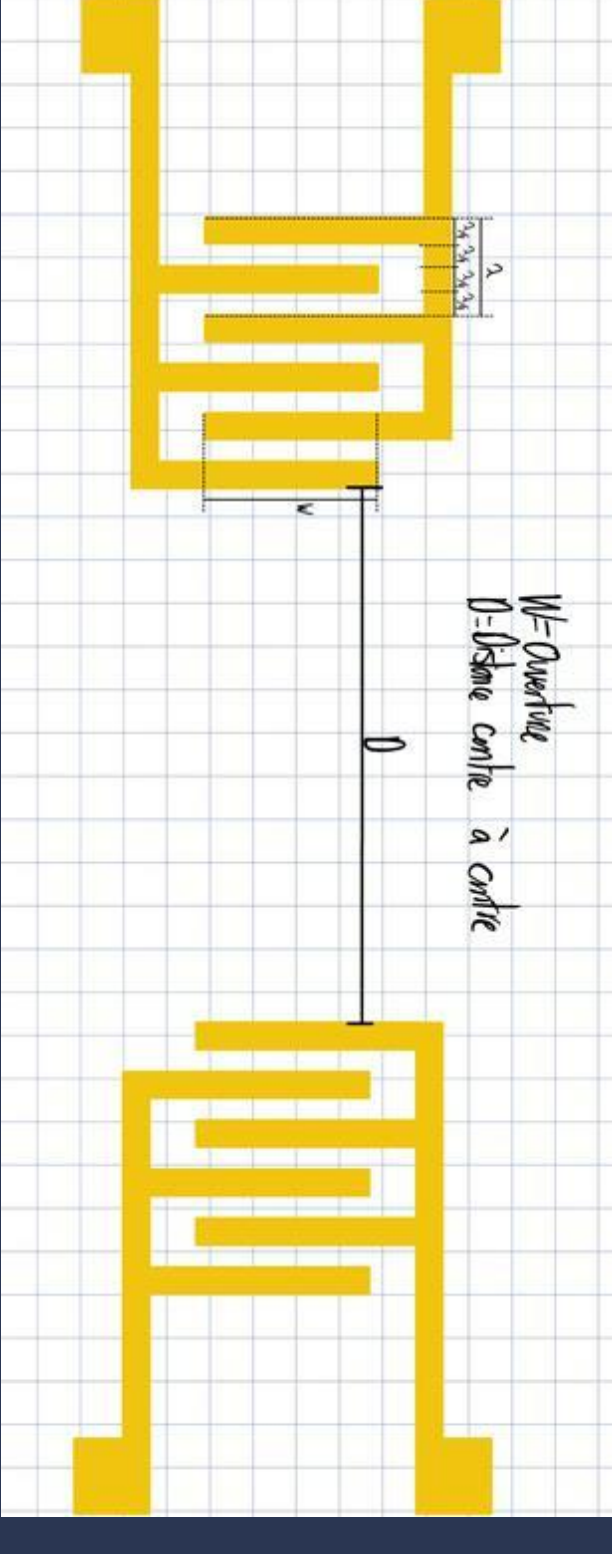
Poussière

Bactéries

LES CAPTEURS À ONDE ACOUSTIQUE DE SURFACE

- La base
- Les électrodes
- Le substrats

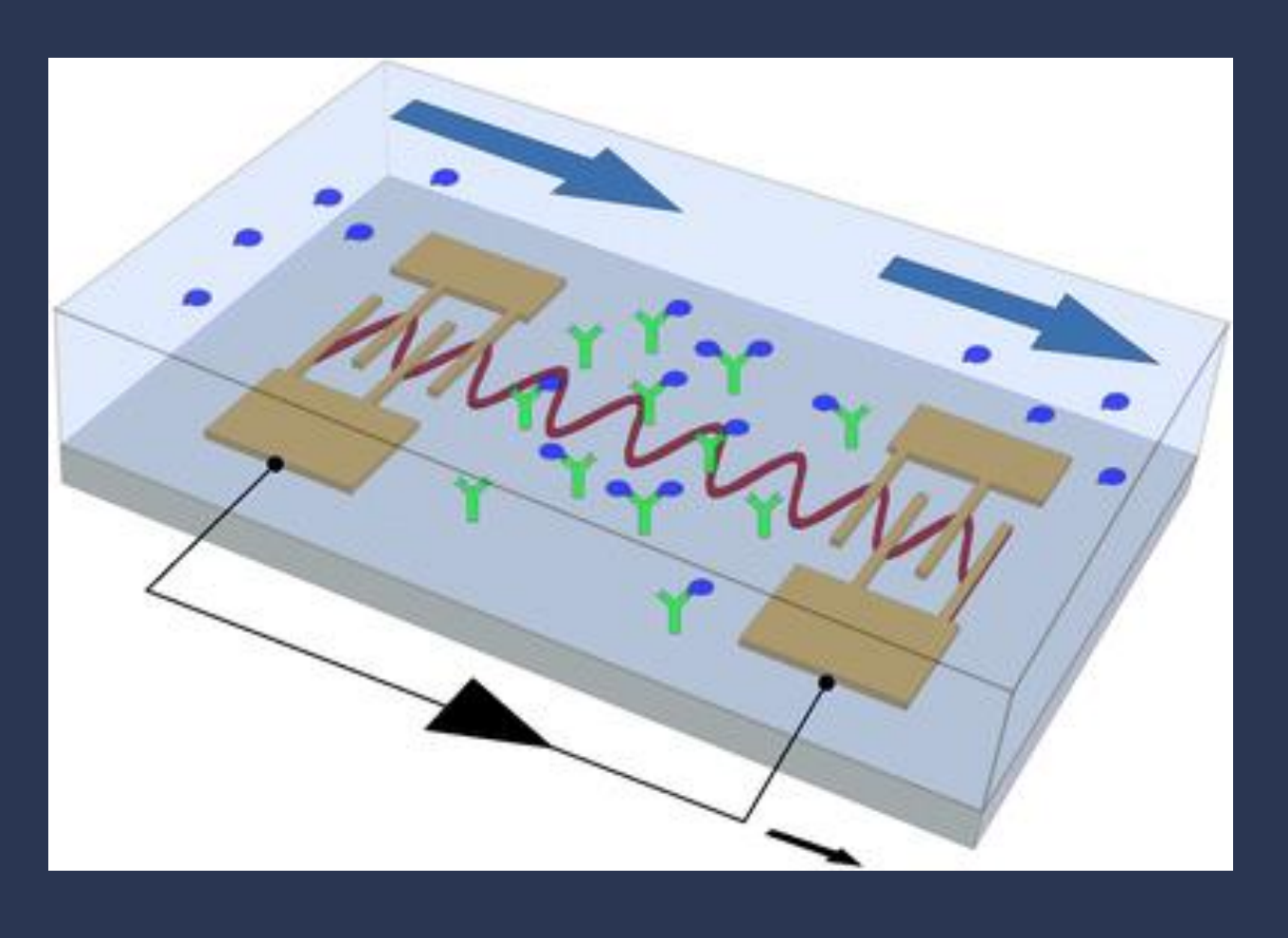


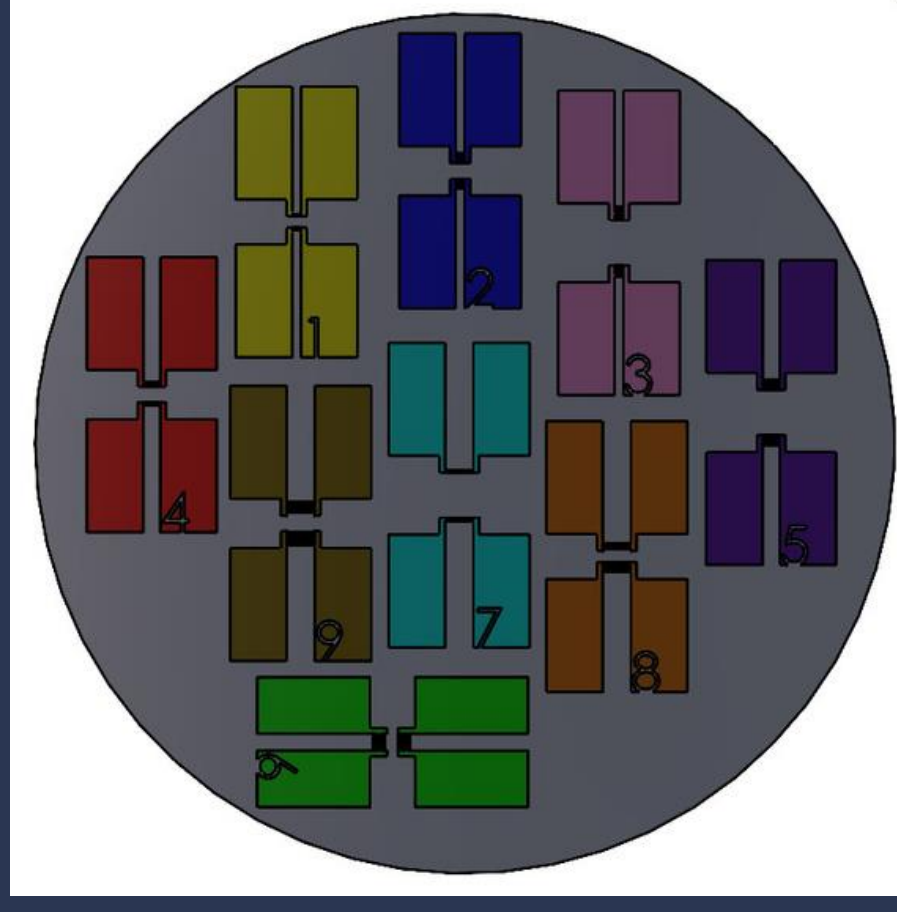


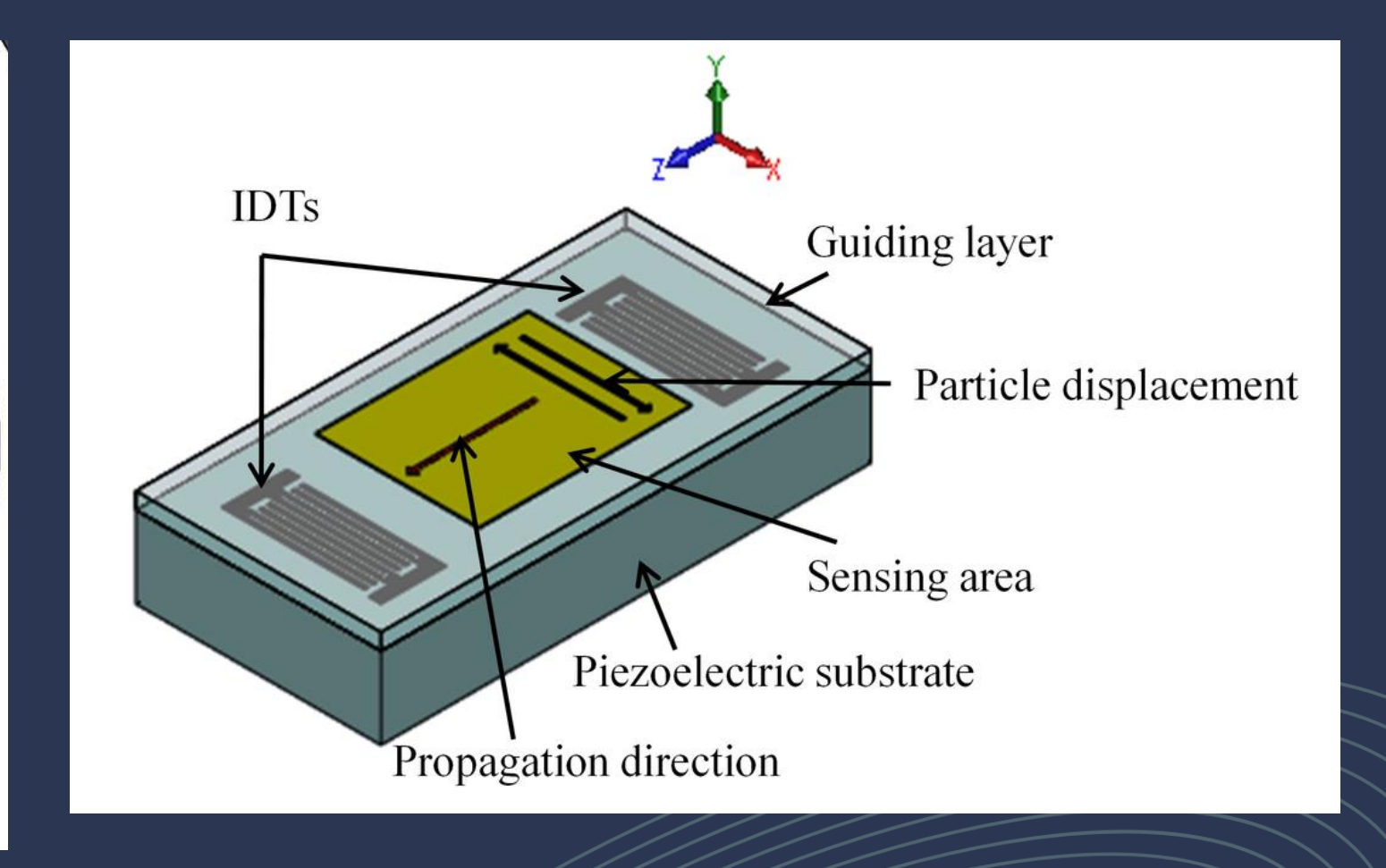
LES MATÉRIAUX

Ainsi que leurs paramètres







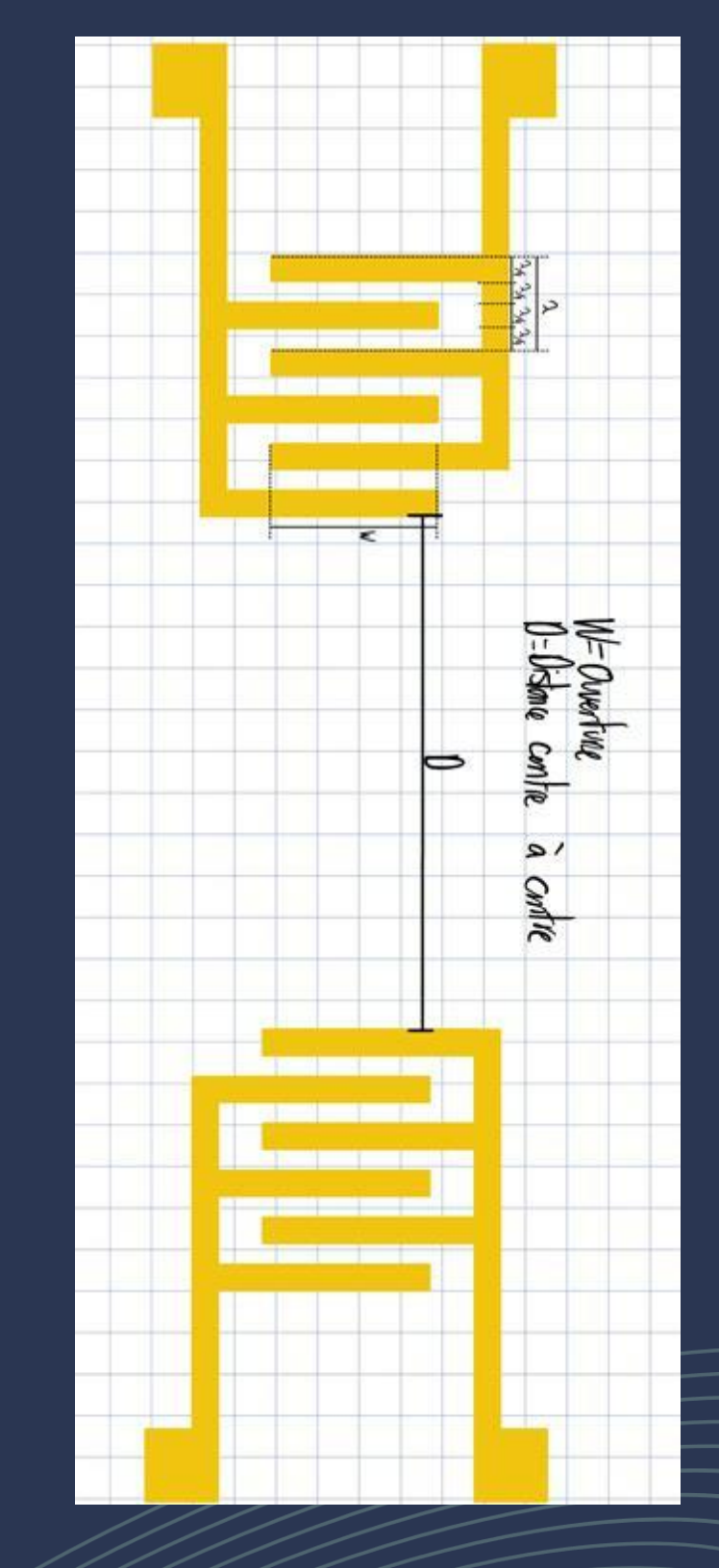


Matériaux Substrat	Vitesse de l'onde (m/s)	Coefficient de couplage K ^2(%)	Coefficient de dérive en température CTF (ppm/C)	Avantages	Inconvénients
ST-X Quartz	3159	0.11	0	Peu couteux, TCF=0	
Y-Z LiNbO3	3487	4,80	94		
128°Y-X LiNbO3	3992	5,6	75	- Fort couplage électromécanique - Faible niveau	- TCF élevée - Fragile
64°Y-X LiNbO3	4742.5	11,3	80	d'atténuation	
42°Y-X LiNbO3	4792	17.2	50		
Y-Z LiTaO3	3230	0,74	35		Fragile
36°Y-X LiTaO3	4160	5	32	- Fort couplage électromécanique, - Bon compromis TCF/K2	
42°YX-LiTaO3	4022	7,6	40		
(0, 138.5, 26.8) La3Ga5SiO14	2734	0,34	~0	Possibilité d'utilisation à	Fortes pertes en propagation à haute température
(10, 150, 34) La3Ga5SiO14	2829	0,47	-1	très haute température	
Titano-Zirconate de Plomb : PZT	3900	20-35		- Très fort coefficient de couplage - Forte constante piézoélectrique	- Gravure difficile - Nécessite une polarisation afin d'observer l'effet
(0001) AIN	5607	0,30	19	- Isolant électrique Fonctionnement à haute fréquence et à température élevée Compatible avec la technologie CMOS - Peut être déposé sur des substrats non piézoélectriques	Faiblement piézoélectrique
(001)- GaAs	2864	0,07	35		Faible couplage Faible résistivité Prix élevé
ZnO	2645	1,8	15	Bon couplage électromécanique	Conducteur à haute température
Polyfluorure de vinylidène : PVDF	2600	15	-	Flexible	Forte atténuation des ondes

LA BASE

	Conductivités électrique	Capacité Thermiques	Densité	Antibactérien ?	Prix	Note
Molybdène	0.187*10^6	0.25 J/gK	10,2 g/cm^3	Non	\$247.95	Pas cher
Aluminium	0.377*10^6	0.90 J/gK	2.702 g/cm^3	Non	\$165.30	Propriété les plus proche de l'or
Cuivre	0.596*10^6	0.38 J/gK	8.96 g/cm^3	Oui, déstructurant	\$334.95	ANTIBACTÉRIEN
Or	0.452*10^6	0.128 J/gK	19.32 g/cm^3	Non	+ de 21K\$	Cher Mais techniquement le meilleur choix
Platine	0.0966*10^6	0.13 J/gK	21.45 g/cm^3	?	+ de 21K\$	Cher
Titane (couche)	0.0234*10^6	0.52 J/gK	4.50 g/cm^3	Oui, bactériostatiqu e	\$136.30	Couche d'accroche utilisé dans toutes les thèses

LES ÉLECTRODES



LE SUBSTRAT

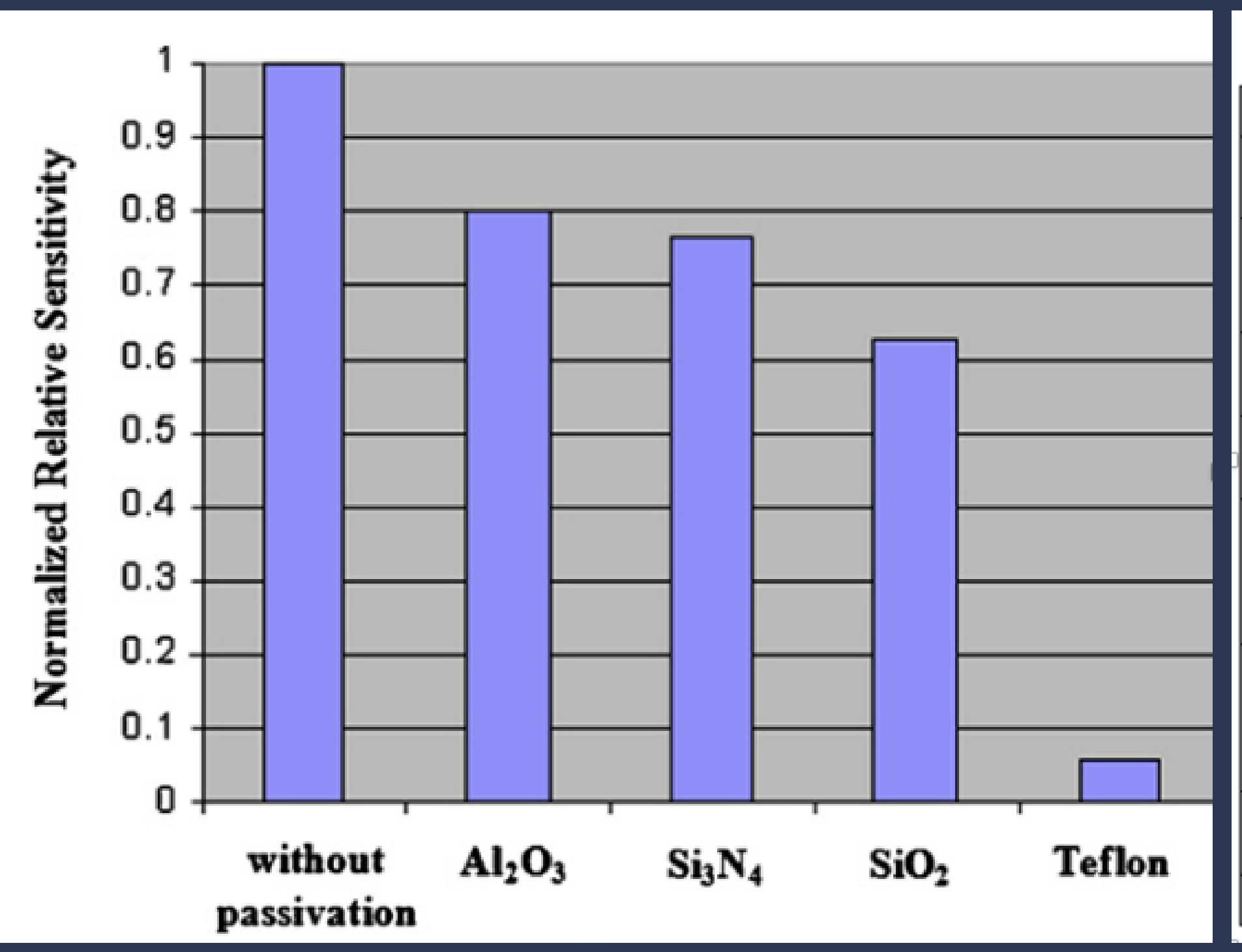
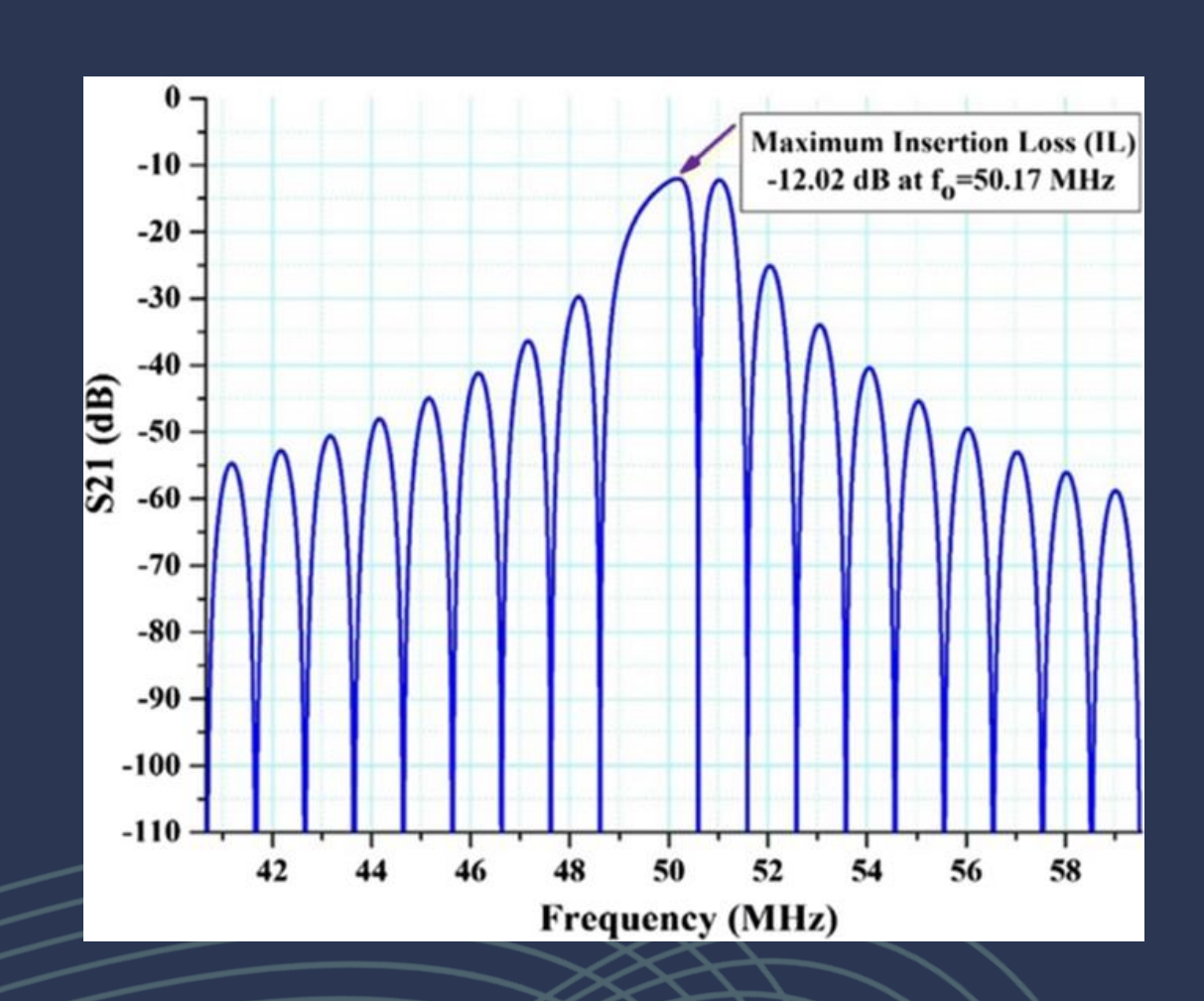


Tableau 1-2 : Quelques revues sur les différentes caractéristiques des principaux matériaux utilisés comme couche de guidage pour les dispositifs à ondes de Love

	SiO ₂	ZnO	Parylène-C	PMMA	SU-8
Rigidité	31,2×10 ⁹ N/m ²	42,3×10 ⁹ N/m ²	0,985×10 ⁹ N/m ²	1,7×10 ⁹ N/m ²	1,66×10 ⁹ N/m ²
Densité (masse volumique)	2200 kg/m ³	5665 kg/m ³	1289 kg/cm ³	1107 kg/cm ³	1190kg/cm ³
Vitesse de phase	3780 m/s	2650 m/s	3400 m/s	1200 m/s	1181 m/s
Substrat	Quartz coupe ST	Quartz coupe ST	LiTaO ₃ 36° rot	Quartz coupe ST	Quartz coupe ST
Sensibilité à effet de masse maximale	30 m ² /kg	95 m²/kg	300 m ² /kg	72 m ² /kg	800m ² /kg
Épaisseur optimale	6,2 μm	6 μm	1,92 μm (vide) et 1,85 μm (eau)	2,2 μm	2,32 μm
Pertes d'insertion	Faibles	Faibles	Faibles	Elevées	Elevées
Références	[79]	[80,81]	[82]	[79]	[83]

LES SIMULATIONS

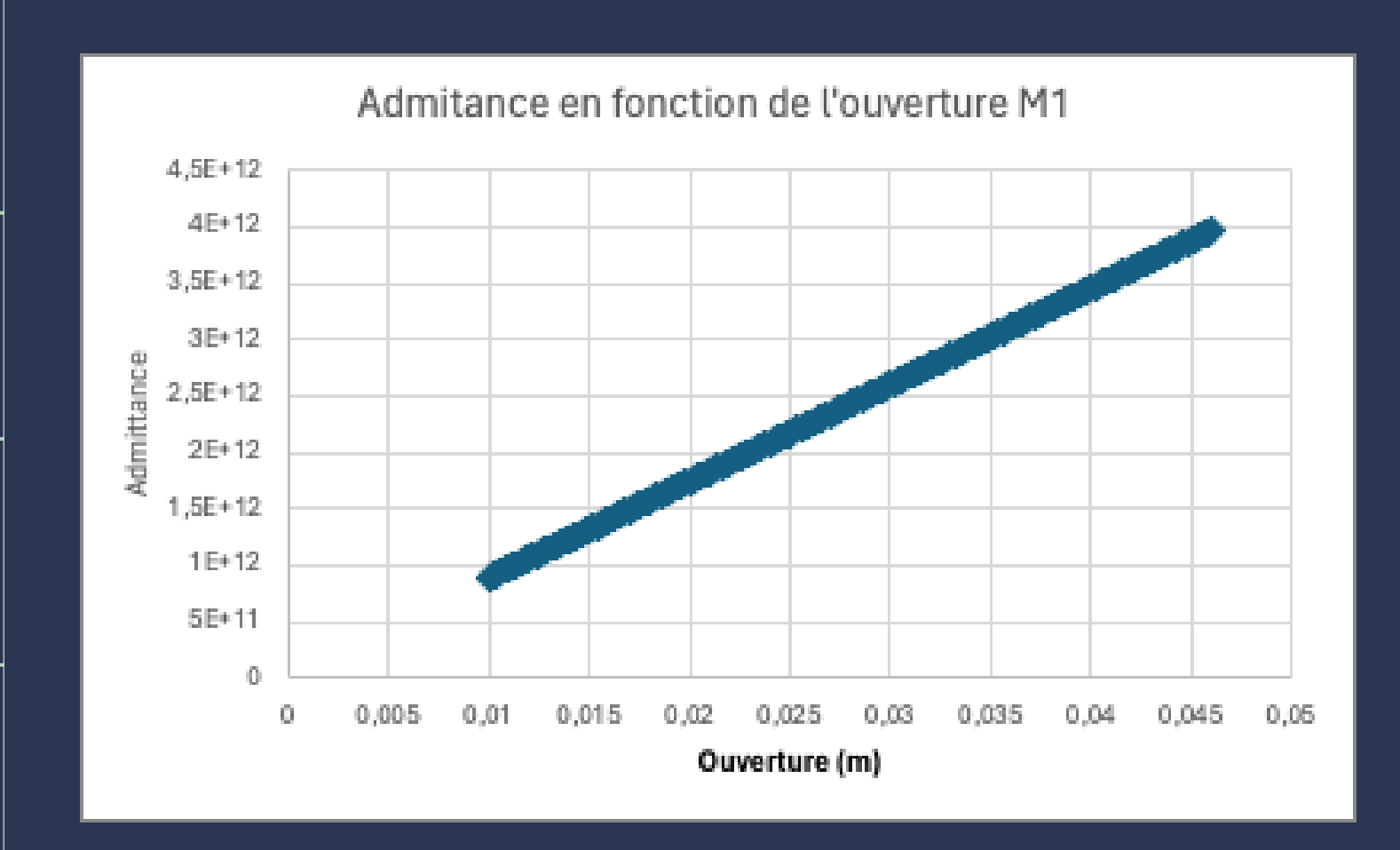


Solidworks

Matlabs

Excel

Ansys



$$\frac{\left\{ \sqrt{\frac{\left(\left(\frac{f_{c}^{+} + f_{c}^{-}}{c_{c}} \right) - \left(\left(f_{sc}^{+} + f_{sc}^{-} \right) \right)}{\lambda \left(f_{sc}^{+} + f_{sc}^{-} \right)} \right) \pi C \omega - 2Re \left\{ \frac{2\pi \left(f_{sc}^{+} - f_{sc}^{-} \right)}{\lambda \left(f_{sc}^{+} + f_{sc}^{-} \right)} \sqrt{\left(\frac{\left(f_{c}^{+} + f_{c}^{-}}{c_{c}} \right) - \left(\left(f_{sc}^{+} + f_{sc}^{-} \right) \right)}{\lambda \left(f_{sc}^{+} + f_{sc}^{-} \right)}} \right) \pi C \omega \right\} \left[\left(\frac{2\omega}{\lambda \left(f_{sc}^{+} + f_{sc}^{-} \right)} \right)^{2} - 2\frac{\pi}{p} \left(\frac{2\omega}{\lambda \left(f_{sc}^{+} + f_{sc}^{-} \right)} \right) + \gamma^{2} \right] - \left[\frac{2\pi \left(f_{sc}^{+} - f_{sc}^{-} \right)}{\lambda \left(f_{sc}^{+} + f_{sc}^{-} \right)} \right]^{2}} \right]$$

$$- \omega^{2} C^{2} \right\}$$

$$0.5$$

Ce qui a été fait

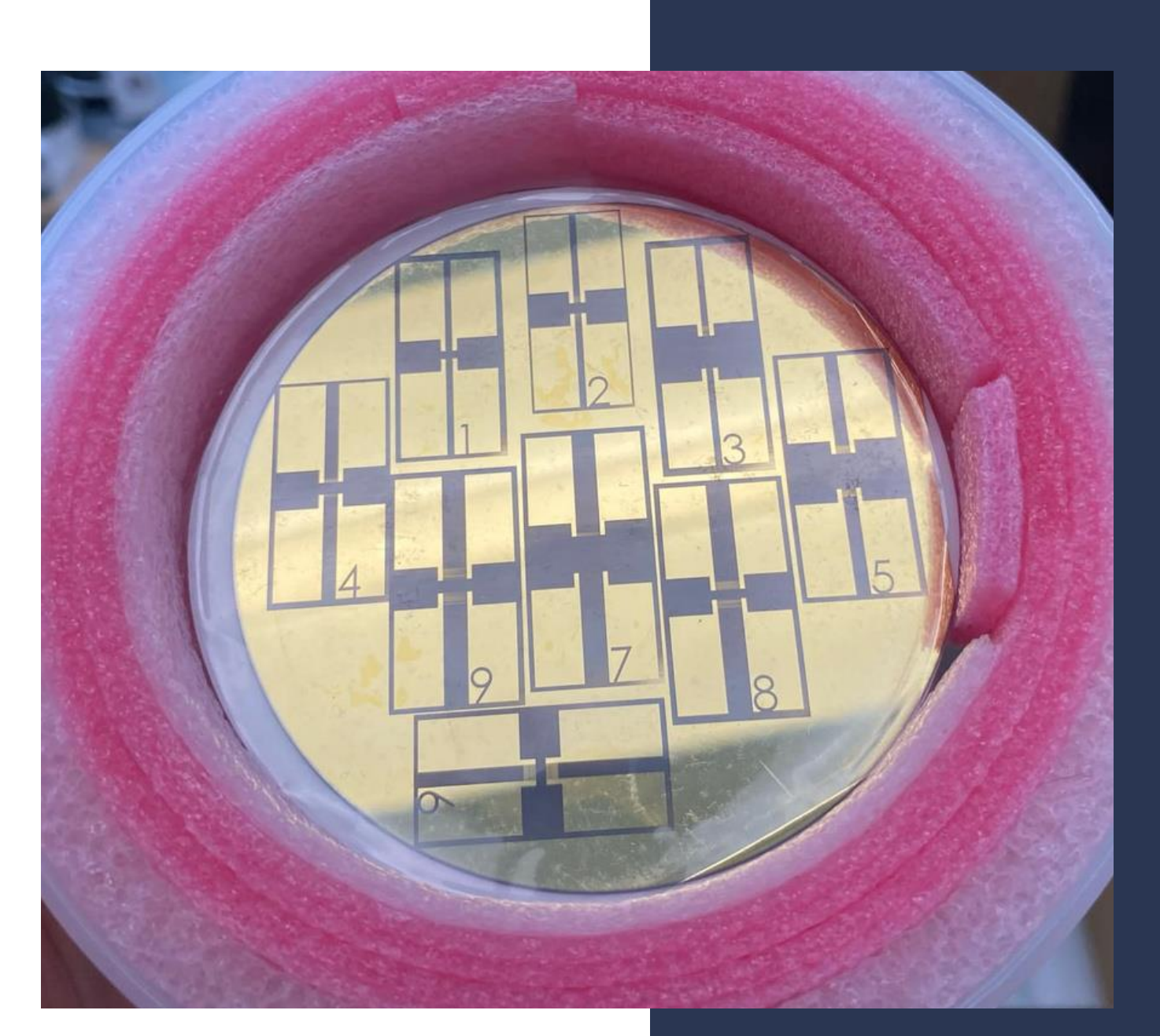
- Choix des matériaux
- l'achat
- les simulations pour les paramètres
- préparation des capteurs

En cours:

- Dépots de substrats sur les capteurs
- préparation de banc de test



- Phase d'essais des capteurs
- Corrélations avec les simulations
- Corrélations avec les dépots



DES QUESTIONS?



